

# Nové údaje o supergénnych mineráloch z banského poľa Rainer, ložisko Ľubietová - Podlipa (Slovenská republika)

## New data on supergene minerals from the Rainer mining field, Ľubietová - Podlipa deposit (Slovak Republic)

MARTIN ŠTEVKO<sup>1)\*</sup>, JIŘÍ SEJKORA<sup>2)</sup> A RADANA MALÍKOVÁ<sup>2)</sup>

<sup>1)</sup>Univerzita Komenského v Bratislave, Prírodovedecká fakulta, Katedra mineralogie a petrologie, Ilkovičova 6,  
842 15 Bratislava IV, Slovenská republika; \*e-mail: stevko@fns.uniba.sk

<sup>2)</sup>Mineralogicko-petrologické oddelení, Národní muzeum, Cirkusová 1740, 193 00 Praha 9 - Horní Počernice,  
Česká republika

ŠTEVKO M., SEJKORA J., MALÍKOVÁ R. (2016) Nové údaje o supergénnych mineráloch z banského poľa Rainer, ložisko Ľubietová - Podlipa (Slovenská republika). Bull. mineral.-petrolog. Odd. Nár. Muz. (Praha) 24, 1, 1-12. ISSN: 1211-0329.

### Abstract

An interesting supergene mineral association with bismutite, Bi and Cu-rich corkite and kintoreite, mrázekite and petitjeanite was recently identified at the Rainer mining field, Ľubietová-Podlipa copper deposit near Banská Bystrica, Slovak Republic. Bismutite is common mineral in studied samples and it occurs as yellowish-green to pale yellow, powdery to earthy aggregates up to 6 x 1.5 cm in size, which are embedded in quartz and represent pseudomorphs after accumulations of preexisting Cu-Bi or Cu-Pb-Bi sulfosalts. It was identified by PXRD and its refined unit-cell parameters (for the orthorhombic space group *Imm2*) are: *a* 3.873(2), *b* 3.874(4) Å, *c* 13.722(9) Å and *V* 205.9(3) Å<sup>3</sup>. Corkite forms yellowish-green, irregular to hemispherical aggregates up to 1 mm in size, which consists of well-developed rhombohedral crystals up to 30 µm. It is associated with bismutite, mrázekite, goethite, malachite and pseudomalachite. The unit-cell parameters of corkite refined from the powder X-ray diffraction data (for the trigonal space group *R-3m*) are: *a* 7.277(8), *c* 16.740(6) Å with *V* 768.8(1) Å<sup>3</sup>. Its chemical composition is distinctive by unusually high concentrations of Bi (up to 0.28 apfu) and Cu (up to 1.06 apfu), with the average (*n*=19) empirical formula corresponding to  $(\text{Pb}_{0.88}\text{Bi}_{0.16})_{\Sigma 1.04}(\text{Fe}_{2.42}\text{Cu}_{0.72}\text{Al}_{0.05})_{\Sigma 3.19}[(\text{PO}_4)_{0.99}(\text{SO}_4)_{0.77}(\text{PO}_3\text{OH})_{0.23}(\text{AsO}_4)_{0.01}]_{\Sigma 2.00}(\text{OH})_{6.10}$  on the basis of P+As+S+Si = 2 apfu. Kintoreite occurs as greenish-yellow, fine crystalline coatings, which cover areas up to 2 x 2 cm, in association with mrázekite, bismutite, petitjeanite, pseudomalachite and goethite. The unit-cell parameters of kintoreite refined from the powder X-ray diffraction data (for the trigonal space group *R-3m*) are: *a* 7.285(8), *c* 16.883(5) Å with *V* 776(1) Å<sup>3</sup>. It contains elevated amounts of Bi (up to 0.10 apfu) and Cu (up to 0.22 apfu) and its average (*n*=6) empirical formula can be expressed as  $(\text{Pb}_{0.93}\text{Bi}_{0.08}\text{K}_{0.04}\text{Ca}_{0.01})_{\Sigma 1.06}(\text{Fe}_{2.48}\text{Al}_{0.34}\text{Cu}_{0.14})_{\Sigma 2.96}[(\text{PO}_3\text{OH})_{1.00}(\text{PO}_4)_{0.81}(\text{SiO}_4)_{0.16}(\text{SO}_4)_{0.02}(\text{AsO}_4)_{0.01}]_{\Sigma 2.00}(\text{OH})_{5.73}$  on the basis P+As+S+Si = 2 apfu. Mrázekite is relatively abundant in studied samples and it is often closely associated with bismutite. It occurs as cerulean-blue crusts, hemispherical or irregular crystalline aggregates. Radial aggregates of well-developed acicular to thin-tabular crystals of mrázekite are infrequent. The unit-cell parameters of mrázekite refined from the powder X-ray diffraction data (for the monoclinic space group *P2/m*) are: *a* 9.067(5), *b* 6.341(4), *c* 21.252(9) Å,  $\beta$  101.64(4)° with *V* 1197(1) Å<sup>3</sup>. Its average (*n* = 8) empirical formula is  $(\text{Bi}_{1.95}\text{Pb}_{0.02})_{\Sigma 1.97}(\text{Cu}_{2.91}\text{Fe}_{0.02}\text{Al}_{0.01})_{\Sigma 2.94}[(\text{PO}_4)_{1.99}(\text{AsO}_4)_{0.01}]_{\Sigma 2.00}\text{O}_{2.00}(\text{OH})_{1.78}\cdot 2\text{H}_2\text{O}$  based on P+As = 2 apfu. Petitjeanite is very rare and it forms microscopic, irregular aggregates and crusts up to 200 µm associated with goethite, pseudomalachite, mrázekite and kintoreite. It was confirmed by EPMA-WDS and its average (*n* = 4) empirical formula can be expressed as  $(\text{Bi}_{2.67}\text{Pb}_{0.16}\text{Al}_{0.08}\text{Fe}_{0.05}\text{K}_{0.03}\text{Cu}_{0.03}\text{Ca}_{0.02})_{\Sigma 3.04}[(\text{PO}_4)_{1.84}(\text{SiO}_4)_{0.09}(\text{AsO}_4)_{0.07}]_{\Sigma 2.00}\text{O}_{1.00}(\text{OH})_{0.72}$  on the basis P+As+Si = 2 apfu.

**Key words:** bismutite, corkite, kintoreite, mrázekite, petitjeanite, supergene minerals, X-ray powder data, chemical composition, Podlipa deposit, Ľubietová, Slovak Republic

Obdrženo: 2. 11. 2015; přijato: 7. 7. 2016

### Úvod

Ložisko Ľubietová - Podlipa patrí najmä vďaka hojnému výskytu supergénnych minerálov k najznámejším a najvýznamnejším mineralogickým lokalitám na území Slovenskej republiky. Je typovou lokalitou dvoch supergénnych minerálov: libethenitu,  $\text{Cu}^{2+}(\text{PO}_4)(\text{OH})$  (Breithaupt 1823) a mrázekitu,  $\text{Bi}_2\text{Cu}^{2+}(\text{PO}_4)_2\text{O}_2(\text{OH})_2\cdot 2\text{H}_2\text{O}$  (Rídkošil et al. 1992; Effenberger et al. 1994). Štúdiu supergénnych minerálov na tejto lokalite sa hlavne v 19.

storočí venovalo množstvo autorov, napríklad Leonhard (1812), Zipser (1817), Jonas (1820). Novšie mineralogické práce sú zamerané buď na jednotlivé supergénne fázy: kyanotrichit (Čech, Láznička 1965), brochantit (Povondra, Rídkošil 1980), langit (Rídkošil, Povondra 1982), polymorfné modifikácie  $\text{Cu}^{2+}(\text{PO}_4)_2(\text{OH})_4$  (Hyršík 1991) a Mn-oxidy (Milovská et al. 2014), alebo prinášajú stručnú charakteristiku supergénnej mineralizácie ako celku (Fuguschová 1977; Luptáková et al. 2012).

V rámci systematického mineralogického výskumu supergénnych fáz z ložiska Podlipa boli v banskom poli Rainer nájdené vzorky supergénnej mineralizácie s bizmutitom, corkitom, kintoreitom, mrázekitom a petitjeanitom. Niektoré z týchto supergénnych fáz neboli doteraz na tejto lokalite identifikované. Tento príspevok je preto venovaný ich detailnej mineralogickej charakteristike.

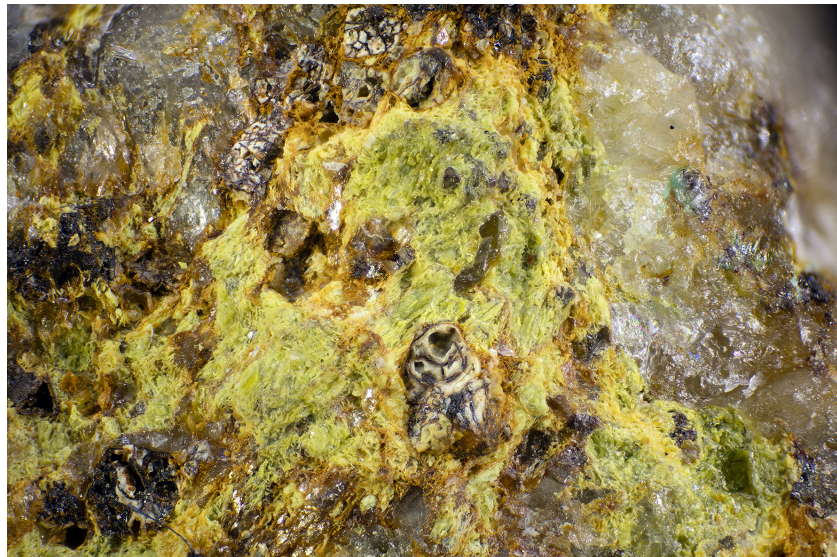
### Lokalizácia a geologicko-ložisková charakteristika

Známe Cu ložisko Podlipa sa nachádza 1.5 km východne od centra obce Ľubietová, na južných svahoch kóty Vysoká (995.6 m n. m.). Banské pole Rainer predstavuje západný segment ložiska Podlipa a je situované vo vočnom údolí, približne 400 m na severozápad od hlavného haldového poľa, ktoré sa nachádza v Zelenej doline.

Hydrotermálna rudná mineralizácia na ložisku Podlipa má charakter žilníka a je vyvinutá v terigénnych perm-ských metapieskovcoch, zlepencoch a brídliciach predajnianskeho súvrstvia, ktoré je súčasťou Ľubietovskej skupiny vaporika (Vozárová, Vozár 1988; Polák et al. 2003; Slavkay et al. 2004). Podľa dochovaných historických údajov mali jednotlivé žilné štruktúry rôzny smer (V - Z alebo S - J), sklon okolo 50° a maximálna hrúbka žilníkovo-impregnačného pásma dosahovala 30 až 40 m (Ber-

gfest 1951; Slavkay et al. 2004). Primárna mineralizácia na ložisku Podlipa je relatívne chudobná. Dominantným rudným minerálom je chalkopyrit, menej častý je pyrit a minerály tetraedrit-tenantitovej rady. V podradnom množstve sa vyskytuje aj arzenopyrit, gersdorffit, bizmutinit, cinabarit, kasiterit a zlato. Z nerudných minerálov sú zastúpené kremeň, siderit, ankerit až Fe-dolomit a skoryl (Hauerová et al. 1989; Slavkay et al. 2004; Michňová et al. 2008; Luptáková et al. 2012). Na ložisku je výrazne vyvinutá oxidačná zóna. Medzi časté supergénne minerály patrí pseudomalachit, malachit, libethenit, kuprit, med', hematit, goethit a Mn oxid. Zriedkavejšie sa vyskytuje akantit, azurit, brochantit, covellit, farmakosiderit, chalkozín, kyanotrichit, langit, ludjibait, mrázekit, reichenbachit a sadrovec (Čech, Láznička 1965; Figusová 1977; Řídkošil, Povondra 1982; Hyršl 1991; Řídkošil et al. 1992; Luptáková et al. 2012; Milovská et al. 2014).

Ložisko Podlipa bolo rozfárané veľkým množstvom štôlní. K najvýznamnejším patrili štôlne Spodný, Stredný, Horný a Najvyšší Johan, Helena, Anton, Horná a Dolná Mária Empfängnis a Clemens. V banskom poli Rainer boli hlavnými banskými dielami štôlne Horný Ladislav, Dolný Ladislav a Rainer (Bergfest 1951). Konkrétne údaje o začiatkoch ťažby medi na ložisku Podlipa chýbajú. Prvé písomné údaje pochádzajú až zo 14. storočia. Najväčší



Obr. 1 Žltozelené až svetložlté agregáty a akumulácie bizmutitu z Ľubietovej. Sírka záberu je 4 mm, foto P. Škácha.

**Tabuľka 1** Röntgenové práškové údaje bizmutitu z Ľubietovej

<i>h</i>	<i>k</i>	<i>l</i>	<i>d<sub>obs</sub></i>	<i>I<sub>obs</sub></i>	<i>d<sub>calc</sub></i>	<i>h</i>	<i>k</i>	<i>l</i>	<i>d<sub>obs</sub></i>	<i>I<sub>obs</sub></i>	<i>d<sub>calc</sub></i>	<i>h</i>	<i>k</i>	<i>l</i>	<i>d<sub>obs</sub></i>	<i>I<sub>obs</sub></i>	<i>d<sub>calc</sub></i>
0	0	2	6.900	1	6.861	0	0	6	2.2845	7	2.2869	2	1	1	1.7177	10	1.7184
1	0	1	3.732	45	3.727	1	0	5	2.2395	4	2.2392	2	0	4	1.6840	4	1.6863
0	0	4	3.434	6	3.430	1	1	4	2.1429	24	2.1403	2	1	3	1.6208	32	1.6200
1	0	3	2.958	100	2.956	2	0	0	1.9373	26	1.9364	1	2	3	1.6194	34	1.6198
1	1	0	2.741	64	2.739	2	0	2	1.8620	4	1.8636	2	0	6	1.4791	5	1.4778
1	1	2	2.546	6	2.544	1	1	6	1.7536	14	1.7554						

**Tabuľka 2** Mriežkové parametre bizmutitu z Ľubietovej (indexované v rombickej priestorovej grupe *Imm2*) a ich porovnanie s publikovanými údajmi

	táto práca	Grice (2002)	Pauliš et al. (2015)
<i>a</i> [Å]	3.873(2)	3.865(2)	3.8679(8)
<i>b</i> [Å]	3.874(4)	3.862(2)	3.866(3)
<i>c</i> [Å]	13.722(9)	13.675(6)	13.683(2)
<i>V</i> [Å <sup>3</sup> ]	205.9(3)	204.12(7)	204.6(2)

rozmach ťažby medi bol na ložisku Podlipa zaznamenaný v 15. a 16. storočí. V neskoršom období ťažba na ložisku stagnovala a začiatkom druhej polovice 19. storočia úplne zanikla (Bergfest 1951; Vlachovič 1964).

Prvé vzorky s corkitom, bizmutitom a mrázekitom boli nájdené na halde štôlne Dolný Ladislav v banskom poli Rainer. Bohatý študijný materiál s kintoreitom, bizmutitom, mrázekitom a petitjeanitom neskôr poskytli nedočažené partie zrudnenia v hlavnej komore respektívne dobývke na úrovni Dolnej Ladislav štôlne. V oboch prípadoch ide o kremeňovú žilovinu s reliktami primárneho chalkopyritu a hojným zastúpením supergénnych minerálov, najmä pseudomalachitu a v menšej miere aj malachitu, goethitu a hematitu.

### Metodika

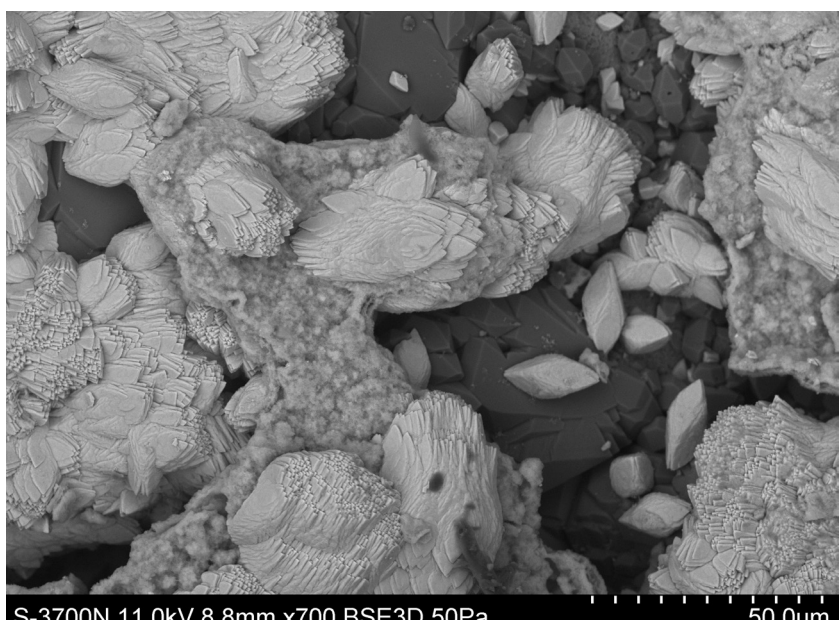
Mikrofotografická dokumentácia študovaných vzoriek bola vyhotovená na mikroskope Zeiss Stemi2000. Detailné štúdium morfológie corkitu v sekundárnych elektrónoch bolo realizované v nízkovákuovom móde na rastrovacom elektrónovom mikroskoppe Hitachi S3700-N (Národní muzeum, Praha).

Röntgenové práškové difrákčné údaje bizmutitu, corkitu, kintoreitu a mrázekitu boli získané pomocou práškového difraktometra Bruker D8 Advance (Katedra mineralogie a petrologie, PriF UK, Bratislava) s polovodičovým pozicie citlivým detektorm LynxEye s využitím CuK $\alpha$  žiarenia za nasledovných podmienok: napätie 40 kV, prúd 40 mA, krok 0.01° 20, čas 3 s/krok. Pripravené práškové preparáty boli pre zníženie pozadia záznamu nanesené v acetónovej suspenzii na nosič zhotovený z monokryštálu Si. Získané difrákčné údaje boli vyhodnotené pomocou softvéru Bruker DIFFRAC<sub>plus</sub> EVA. Pozície jednotlivých difrákčných maxím boli spracované profilovou funkciou Pseudo-Voigt a spresnené pomocou profilového fitovania v programe HighScore Plus. Mriežkové parametre corkitu, bizmutitu, kintoreitu a mrázekitu boli spresnené metódou najmenších štvorcov pomocou programu Celref (Laugier, Bochu 2011).

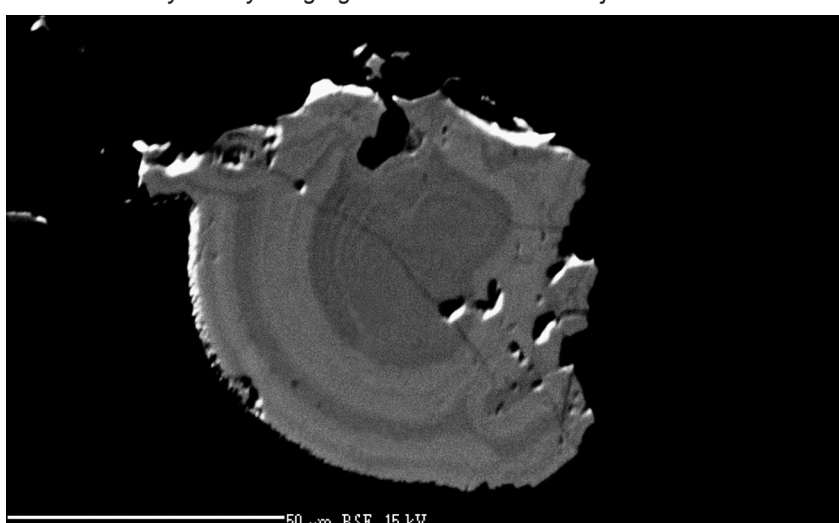
Chemické zloženie corkitu, kintoreitu, mrázekitu a petitjeanitu bolo kvantitatívne študované pomocou elektrónového mikroanalizátora Cameca SX100 (Přírodovědecká fakulta, MU, Brno) za týchto podmienok: WD analýza, 15 kV, 10 nA, priemer



Obr. 2 Žltozelený polguľovitý kryštalický agregáty corkitu z L'ubietovej. Šírka záberu je 0.9 mm, foto J. Sejkora.



Obr. 3 Detail kryštalických agregátov corkitu z L'ubietovej. SEM foto M. Števko.



Obr. 4 Koncentricky zonálny agregát corkitu z L'ubietovej. BSE foto M. Števko.

**Tabuľka 3** Röntgenové práškové údaje corkitu z L'ubietovej

<i>h</i>	<i>k</i>	<i>l</i>	$d_{obs}$	$I_{obs}$	$d_{calc}$	<i>h</i>	<i>k</i>	<i>l</i>	$d_{obs}$	$I_{obs}$	$d_{calc}$	<i>h</i>	<i>k</i>	<i>l</i>	$d_{obs}$	$I_{obs}$	$d_{calc}$
1	0	1	5.839	100	5.867	0	0	6	2.793	5	2.790	3	0	3	1.9634	3	1.9658
0	1	2	4.985	1	5.034	0	2	4	2.513	4	2.517	1	2	5	1.9408	1	1.9407
1	1	0	3.617	15	3.638	2	1	1	2.3511	2	2.3580	2	2	0	1.8152	3	1.8191
1	1	3	3.038	25	3.048	1	2	2	2.2864	2	2.2908	1	3	1	1.7446	1	1.7383
2	0	2	2.938	10	2.949	1	0	7	2.2373	3	2.2358	4	0	4	1.4800	1	1.4744

**Tabuľka 4** Mriežkové parametre corkitu z L'ubietovej (indexované v trigonálnej priestorovej grupe R-3m) a ich porovnanie s publikovanými údajmi

táto práca			Giuseppetti, Tadini (1987)	Pauliš et al. (2012a)
<i>a</i> [Å]	7.277(8)		7.280(1)	7.285(1)
<i>c</i> [Å]	16.740(6)		16.821(1)	16.831(1)
<i>V</i> [Å <sup>3</sup> ]	768.8(1)		772.05	773.6(1)

**Tabuľka 5** Reprezentatívne mikroanalýzy corkitu z L'ubietovej (hm. %)

	mean	1	2	3	4	5	6	7	8	9	10	11	12	13	14
CaO	0.02	0.05	0.04	0.00	0.00	0.11	0.07	0.00	0.00	0.06	0.00	0.00	0.00	0.00	0.00
PbO	26.32	28.63	27.19	23.42	23.42	28.96	24.64	25.10	28.59	27.96	27.98	25.08	25.19	24.47	30.41
CuO	7.70	5.76	5.91	8.51	8.77	6.44	9.24	7.69	8.05	6.04	6.34	7.58	7.79	10.08	11.26
NiO	0.02	0.00	0.00	0.00	0.00	0.00	0.00	0.00	0.00	0.00	0.00	0.00	0.00	0.00	0.00
Al <sub>2</sub> O <sub>3</sub>	0.34	0.43	0.45	0.18	0.16	0.49	0.15	0.43	0.34	0.41	0.40	0.32	0.35	0.22	0.24
Fe <sub>2</sub> O <sub>3</sub>	25.84	28.45	28.89	25.24	25.22	27.52	23.94	26.21	25.96	27.06	28.11	24.97	25.06	24.09	21.58
Bi <sub>2</sub> O <sub>3</sub>	5.02	2.46	3.95	7.85	7.75	1.74	7.32	6.32	2.58	2.91	2.75	7.46	7.46	6.44	0.63
SiO <sub>2</sub>	0.04	0.00	0.04	0.07	0.00	0.09	0.07	0.00	0.00	0.00	0.08	0.11	0.00	0.11	0.00
As <sub>2</sub> O <sub>5</sub>	0.09	0.00	0.00	0.00	0.00	0.16	0.00	0.20	0.00	0.00	0.00	0.00	0.00	0.20	0.18
P <sub>2</sub> O <sub>5</sub>	11.61	12.56	13.27	11.76	11.52	12.10	10.58	12.08	11.08	11.41	12.71	12.04	12.17	10.28	7.13
SO <sub>3</sub>	8.23	7.27	6.76	7.89	8.02	7.73	8.93	7.27	9.17	7.99	7.57	7.79	7.79	9.92	13.24
H <sub>2</sub> O	7.64	8.13	8.35	7.68	7.76	7.86	7.40	8.05	7.49	7.76	8.06	7.50	7.61	7.23	6.77
total	92.85	93.74	94.85	92.60	92.63	93.20	92.34	93.35	93.24	91.58	93.45	92.85	93.42	93.03	91.44
Ca <sup>2+</sup>	0.003	0.007	0.005	0.000	0.000	0.014	0.010	0.000	0.000	0.008	0.000	0.000	0.000	0.000	0.000
Pb <sup>2+</sup>	0.881	0.959	0.896	0.790	0.800	0.961	0.843	0.856	0.947	0.962	0.938	0.836	0.840	0.805	1.019
Bi <sup>3+</sup>	0.161	0.079	0.125	0.254	0.254	0.055	0.240	0.206	0.082	0.096	0.088	0.238	0.238	0.203	0.020
Σ A-site	1.045	1.044	1.026	1.044	1.053	1.031	1.093	1.062	1.028	1.065	1.026	1.075	1.078	1.008	1.039
Cu <sup>2+</sup>	0.723	0.541	0.546	0.806	0.840	0.599	0.887	0.736	0.748	0.583	0.597	0.709	0.729	0.931	1.059
Ni <sup>2+</sup>	0.002	0.000	0.000	0.000	0.000	0.000	0.000	0.000	0.000	0.000	0.000	0.000	0.000	0.000	0.000
Fe <sup>3+</sup>	2.418	2.663	2.660	2.381	2.406	2.553	2.291	2.498	2.403	2.602	2.634	2.378	2.336	2.216	2.022
Al <sup>3+</sup>	0.050	0.063	0.064	0.027	0.024	0.070	0.022	0.064	0.050	0.062	0.058	0.047	0.051	0.031	0.035
Σ B-site	3.193	3.266	3.271	3.214	3.270	3.223	3.200	3.298	3.200	3.246	3.289	3.084	3.115	3.178	3.115
Si <sup>4+</sup>	0.004	0.000	0.005	0.009	0.000	0.011	0.009	0.000	0.000	0.000	0.010	0.014	0.000	0.013	0.000
As <sup>5+</sup>	0.006	0.000	0.000	0.000	0.010	0.000	0.013	0.000	0.000	0.000	0.000	0.000	0.013	0.012	
P <sup>5+</sup>	1.222	1.322	1.375	1.249	1.236	1.263	1.139	1.296	1.154	1.234	1.283	1.262	1.276	1.064	0.751
S <sup>6+</sup>	0.768	0.678	0.620	0.742	0.764	0.716	0.852	0.691	0.846	0.766	0.707	0.724	0.724	0.910	1.237
Σ T-site	2.000	2.000	2.000	2.000	2.000	2.000	2.000	2.000	2.000	2.000	2.000	2.000	2.000	2.000	2.000
OH <sup>-*</sup>	0.232	0.322	0.380	0.258	0.236	0.284	0.148	0.309	0.154	0.234	0.293	0.276	0.276	0.090	0.000
OH <sup>**</sup>	6.103	6.426	6.437	6.170	6.330	6.176	6.131	6.489	5.990	6.381	6.401	5.918	6.012	5.809	5.621

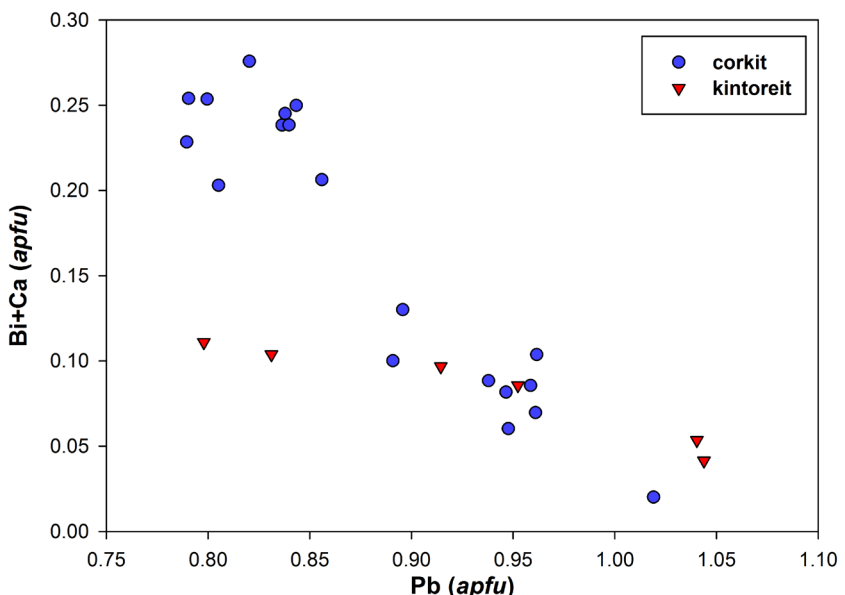
Mean - priemer 19 mikroanalýz; koeficienty empirických vzorcov sú počítané na báze P+As+S+Si = 2 apfu; obsah OH<sup>\*</sup> v (PO<sub>3</sub>OH) skupine, obsah OH<sup>\*\*</sup> bol dopočítaný na základe rozdielu nábojových bilancií.

elektrónového lúča 5  $\mu\text{m}$ , použité štandardy a spektrálne čiary: albit ( $\text{Na K}\alpha$ ), sanidín ( $\text{K K}\alpha$ ,  $\text{Al K}\alpha$ ,  $\text{Si K}\alpha$ ),  $\text{Mg}_2\text{SiO}_4$  ( $\text{Mg K}\alpha$ ), fluórapatit ( $\text{Ca K}\alpha$ ,  $\text{P K}\alpha$ ), vanadinit ( $\text{Pb M}\alpha$ ,  $\text{Cl K}\alpha$ ), almandín ( $\text{Fe K}\alpha$ ), spessartín ( $\text{Mn K}\alpha$ ),  $\text{Ni}_2\text{SiO}_4$  ( $\text{Ni K}\alpha$ ), Co ( $\text{Co K}\alpha$ ), lammerit ( $\text{Cu L}\alpha$ ,  $\text{As L}\alpha$ ), gahnit ( $\text{Zn K}\alpha$ ),  $\text{ScVO}_4$  ( $\text{V K}\alpha$ ), Sb ( $\text{Sb L}\beta$ ), Bi ( $\text{Bi M}\beta$ ),  $\text{SrSO}_4$  ( $\text{S K}\alpha$ ) a topás ( $\text{F K}\alpha$ ). Obsahy vyššie uvedených prvkov, ktoré nie sú zahrnuté v tabuľke, boli kvantitatívne analyzované, ale zistené koncentrácie boli pod detekčným limitom elektrónovej mikroanalýzy (cca 0.03 - 0.05 hm. % pre jednotlivé prvky). Získané údaje boli korigované pomocou softvéru PAP (Pouchou, Pichoir 1985).

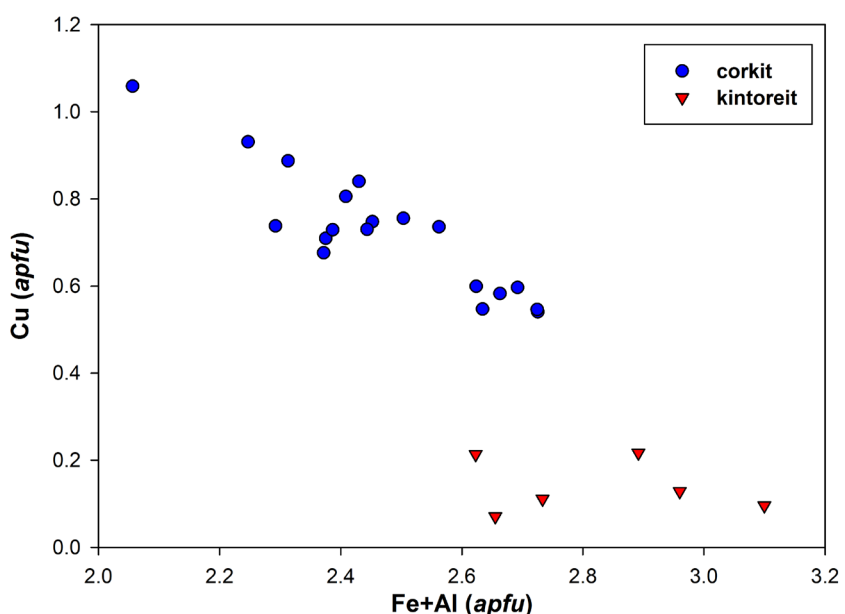
### Charakteristika zistených supergénnych fáz

Bizmutit vytvára až  $6 \times 1.5$  cm veľké, žltozelené až svetložlté práškovité až zemité agregáty v kremeni (obr. 1), ktoré predstavujú pseudomorfózy po pôvodných akumuláciach ihlicovitých Cu-Bi respektíve Cu-Pb-Bi sulfosolí. Lokálne boli v týchto agregátoch zistené relikty pôvodných primárnych fáz, ktoré chemickým zložením zodpovedajú kupčíkitu a aikinitu. V tesnej blízkosti agregátov bizmutitu sa relatívne často vyskytuje mrázekit a lokálne aj corkit, kintoreit a petitjeanit.

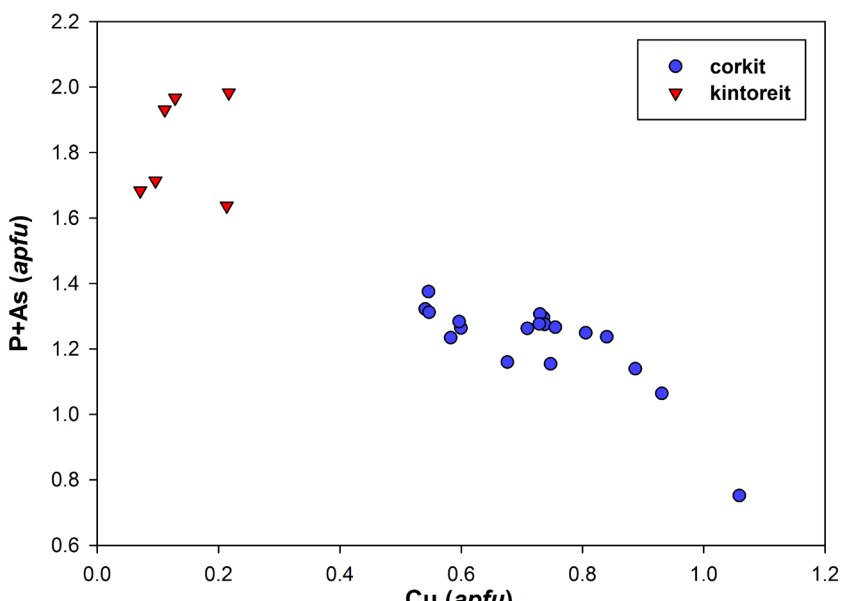
Röntgenové práškové údaje bizmutitu z Ľubietovej (tab. 1) sú v dobrej zhode s údajmi publikovanými pre túto minerálnu fázu ako aj s teoretickým záznamom, ktorý bol vypočítaný zo štruktúrnych dát, ktoré publikoval Grice (2002) pre prírodný bizmutit. Spresnené mriežkové parametre študovaného bizmutitu sú v tabuľke 2 porovnané s publikovanými údajmi. Chemické zloženie bizmutitu bolo orientačne študované pomocou EDS analýzy. Okrem dominatného Bi boli v študovanom bizmutite zistené aj minoritné obsahy Cu, Pb a Fe.



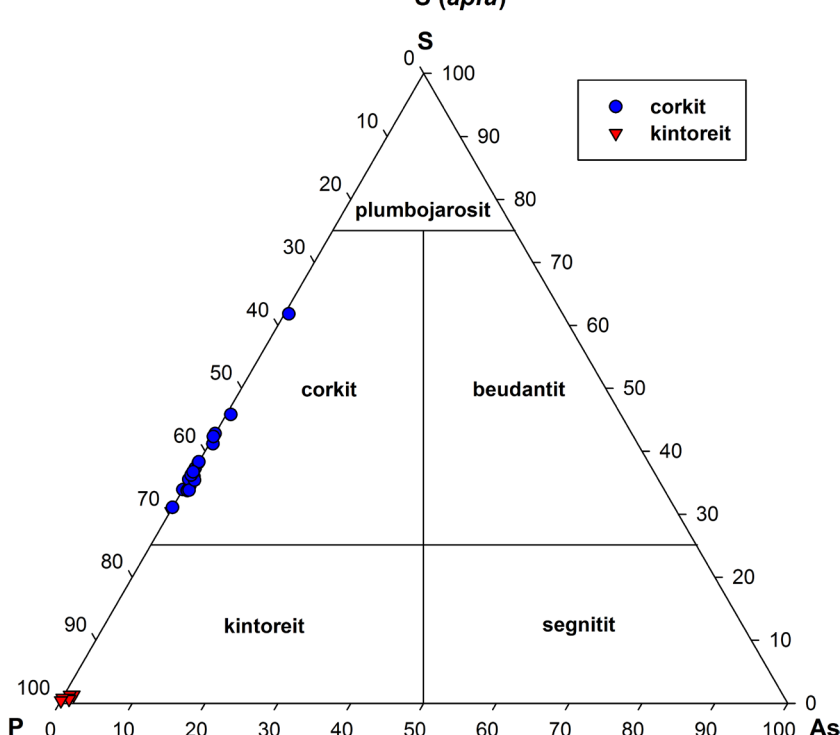
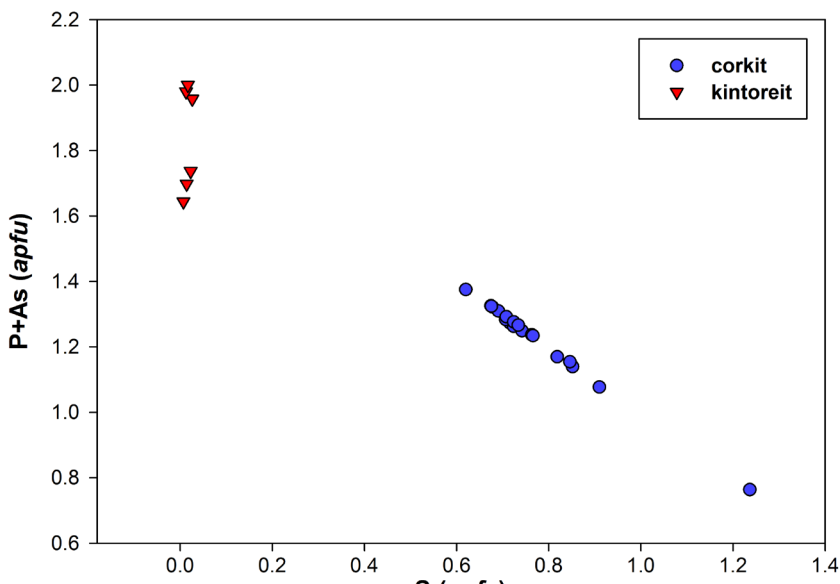
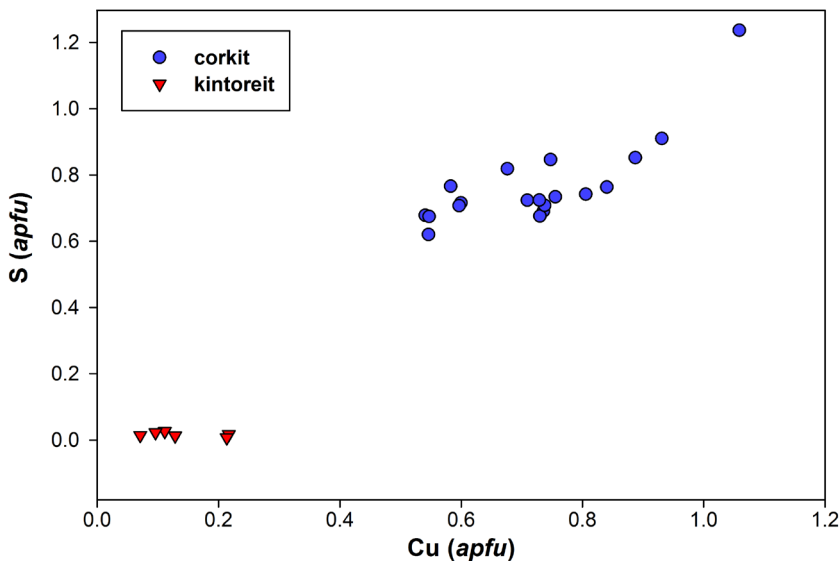
Obr. 5 Graf závislosti obsahu katiónov v pozícii A v mineráloch alunitovej superskupiny z Ľubietovej.



Obr. 6 Graf závislosti obsahu  $\text{Fe}+\text{Al}$  vs.  $\text{Cu}$  v katiónovej pozícii B v mineráloch alunitovej superskupiny z Ľubietovej.



Obr. 7 Graf závislosti obsahu  $\text{Cu}$  vs.  $\text{P}+\text{As}$  v mineráloch alunitovej superskupiny z Ľubietovej.



**Corkit** sa vyskytuje vzácne v puklinách a dutinách kremeňovej žiloviny v tesnej blízkosti akumulácií bizmutitu. Bol identifikovaný len v jednej vzorke z haldy Dolnej Ladislav štôlne. Vytvára žltozelené, nepravidelné až polguľovité kryštalické agregáty do 1 mm (obr. 2). Jednotlivé gregáty corkitu sú zložené z chaoticky orientovaných, dobre vyvinutých romboédrických kryštálov s veľkosťou do 30 µm (obr. 3). V asociácii spolu s corkitom a bizmutitom bol pozorovaný aj mrázekit, pseudomalachit, malachit a goethit. V BSE sa študovaný corkit (obr. 4) vyznačuje výraznou chemickou zonálnosťou, ktorá má miestami oscilačný až koncentrický charakter.

Röntgenové práškové údaje corkitu z L'ubietovej (tab. 3) sú v dobrej zhode s údajmi publikovanými pre túto minerálnu fázu ako aj s teoretickým záznamom, ktorý bol vypočítaný zo štruktúrnych dát, ktoré publikovali Giuseppeti a Tadini (1987) pre prírodný corkit z lokality Dernbach v Nemecku. Spresnené mriežkové parametre študovaného corkitu sú v tabuľke 4 porovnané s publikovanými údajmi.

Corkit (rovnaké ako nižšie popísaný kintoreit) je členom alunitovej superskupiny (Pring et al. 1995; Jambor 1999; Bayliss et al. 2010). Všeobecný empirický vzorec minerálov alunitovej superskupiny je  $AB_3(XO_4)_2(OH)_6$ , respektívne  $DG_3(TX_4)_2X'_6$ . Ikozaedricky koordinovaná pozícia A respektívne D je obsadzovaná veľkými monovalentnými ( $Na^+$ ,  $K^+$ ,  $Rb^+$ ,  $Ag^+$ ,  $NH_4^+$ ,  $H_3O^+$ ,  $Tl^+$ ), divalentnými ( $Ca^{2+}$ ,  $Sr^{2+}$ ,  $Ba^{2+}$ ,  $Pb^{2+}$ ) alebo trivalentnými ( $Bi^{3+}$ ,  $Ln^{3+}$  ( $Ln$  = lantanoidy, najmä  $Ce^{3+}$ ,  $La^{3+}$ ,  $Nd^{3+}$ ,  $Sm^{3+}$ )) katiónmi. Oktaedricky koordinovaná pozícia B respektívne G je zvyčajne obsadzovaná

Obr. 8 Graf závislosti obsahu Cu vs. S v mineráloch alunitovej superskupiny z L'ubietovej.

Obr. 9 Graf závislosti obsahu S vs. P+As v mineráloch alunitovej superskupiny z L'ubietovej.

Obr. 10 Ternárny diagram obsahu As, S a P pre minerály alunitovej superskupiny z L'ubietovej.

trivalentnými katiónnmi ako sú  $\text{Fe}^{3+}$ ,  $\text{Al}^{3+}$ ,  $\text{Cr}^{3+}$ ,  $\text{V}^{3+}$  a  $\text{Ga}^{3+}$ , ale v niektorých prípadoch môže obsahovať aj divalentné (napr.  $\text{Cu}^{2+}$  a  $\text{Zn}^{2+}$ ), ako aj pentavalentné ( $\text{Sb}^{5+}$ ) katióny. V prípade kolitschitu a Zn-bohatého kintoreitu  $\text{Zn}^{2+}$  ne-vstupuje do pozície B respektíve G, ale obsadzuje samostatnú pozíciu s trigonálne dipyrámidálou koordináciou. Pozícia X je tetraedricky koordinovaná a najčastejšie ob-sahuje  $\text{S}^{6+}$ ,  $\text{P}^{5+}$ , and  $\text{As}^{5+}$ , ale môže byť obsadzovaná aj  $\text{C}^{4+}$ ,  $\text{Cr}^{6+}$  a  $\text{Si}^{4+}$ . Časť OH skupín v pozícii X' môže byť na-hrádzaná O, F alebo  $\text{H}_2\text{O}$  (Jambor, Dutrizac 1983; Scott 1987; Rattray et al. 1996; Jambor 1999; Kolitsch, Pring

2001; Sejkora et al. 2001; Grey et al. 2008; Mills et al. 2008; Sato et al. 2008; Grey et al. 2009; Mills et al. 2009; Sejkora et al. 2009; Bayliss et al. 2010). V katiónovej pozícii A študovaný corkit z L'ubietovej (tab. 5, obr. 5) ob-sahuje okrem dominantného Pb aj výrazné koncentrácie Bi (do 0.28 apfu) a minoritne aj Ca (do 0.01 apfu). Práve zvýšené obsahy Bi vyvolávajú jeho chemickú zonálnosť v BSE. Takéto vysoké obsahy Bi v mineráloch beudan-titovej skupiny nie sú doteraz v literatúre uvádzané. V katiónovej pozícii B boli okrem dominantného obsahu Fe zistené aj významné obsahy Cu (do 1.06 apfu) a v men-

**Tabuľka 6** Röntgenové práškové údaje kintoreitu z L'ubietovej

<i>h</i>	<i>k</i>	<i>l</i>	$d_{obs}$	$I_{obs}$	$d_{calc}$	<i>h</i>	<i>k</i>	<i>l</i>	$d_{obs}$	$I_{obs}$	$d_{calc}$	<i>h</i>	<i>k</i>	<i>l</i>	$d_{obs}$	$I_{obs}$	$d_{calc}$
1	0	1	5.839	100	5.910	2	0	2	2.938	9	2.955	3	0	3	1.9625	4	1.9700
0	0	3	5.541	9	5.628	0	0	6	2.792	4	2.814	1	3	1	1.7460	<1	1.7405
1	1	0	3.617	14	3.643	2	1	1	2.3712	2	2.3612	2	1	7	1.6971	<1	1.6957
1	0	4	3.519	5	3.508	1	0	7	2.2591	3	2.2529	1	3	4	1.6195	<1	1.6164
1	1	3	3.038	24	3.058	1	1	6	2.2376	3	2.2268	4	0	4	1.4798	1	1.4775

**Tabuľka 7** Mriežkové parametre kintoreitu z L'ubietovej (indexované v trigonálnej priestorovej grupe R-3m) a ich porovnanie s publikovanými údajmi

	táto práca	Kharisun et al. (1997)	Grey et al. (2009)	Pauliš et al. (2012b)
$a$ [Å]	7.285(8)	7.3310(7)	7.2963(5)	7.290(1)
$c$ [Å]	16.883(5)	16.885(2)	16.8491(5)	16.8654(1)
$V$ [Å <sup>3</sup> ]	776(1)	785.9(2)	776.81	776.2(2)

**Tabuľka 8** Chemické zloženie kintoreitu z L'ubietovej (hm. %)

	mean	1	2	3	4	5	6
$\text{K}_2\text{O}$	0.26	0.00	0.41	0.50	0.00	0.00	0.67
$\text{CaO}$	0.05	0.00	0.06	0.09	0.04	0.00	0.12
$\text{PbO}$	30.78	31.81	29.47	30.24	32.60	32.63	27.95
$\text{CuO}$	1.64	1.33	1.10	0.92	1.43	2.43	2.67
$\text{Al}_2\text{O}_3$	2.58	2.06	4.23	4.90	0.53	1.05	2.72
$\text{Fe}_2\text{O}_3$	29.52	29.44	29.12	26.88	32.25	30.79	28.61
$\text{Bi}_2\text{O}_3$	2.68	2.99	3.03	3.55	1.17	1.75	3.57
$\text{SiO}_2$	1.42	0.15	2.16	2.82	0.00	0.00	3.36
$\text{As}_2\text{O}_5$	0.21	0.44	0.23	0.27	0.33	0.00	0.00
$\text{P}_2\text{O}_5$	19.18	20.51	17.57	19.48	19.53	19.78	18.24
$\text{SO}_3$	0.20	0.32	0.26	0.19	0.14	0.19	0.009
$\text{H}_2\text{O}$	9.03	8.89	9.67	8.61	9.27	9.32	8.42
total	97.55	97.93	97.31	98.43	97.29	97.95	96.41
$\text{K}^+$	0.037	0.000	0.060	0.064	0.000	0.000	0.091
$\text{Ca}^{2+}$	0.006	0.000	0.007	0.010	0.005	0.000	0.013
$\text{Pb}^{2+}$	0.925	0.952	0.914	0.831	1.044	1.040	0.798
$\text{Bi}^{3+}$	0.077	0.086	0.090	0.090	0.093	0.054	0.098
$\Sigma$ A-site	1.044	1.038	1.071	0.999	1.085	1.094	1.000
$\text{Cu}^{2+}$	0.139	0.111	0.096	0.071	0.128	0.217	0.214
$\text{Al}^{3+}$	0.340	0.269	0.574	0.590	0.074	0.147	0.340
$\text{Fe}^{3+}$	2.480	2.464	2.525	2.065	2.886	2.744	2.283
$\Sigma$ B-site	2.959	2.845	3.196	2.726	3.088	3.108	2.837
$\text{Si}^{4+}$	0.158	0.017	0.249	0.288	0.000	0.000	0.356
$\text{As}^{5+}$	0.012	0.026	0.014	0.014	0.020	0.000	0.000
$\text{P}^{5+}$	1.813	1.931	1.714	1.684	1.967	1.983	1.637
$\text{S}^{6+}$	0.017	0.026	0.023	0.014	0.013	0.017	0.007
$\Sigma$ T-site	2.000	2.000	2.000	2.000	2.000	2.000	2.000
$\text{OH}^-$	1.000	1.000	1.000	1.000	1.000	1.000	1.000
$\text{OH}^{**}$	5.725	5.595	6.437	4.862	6.356	6.367	4.925

Koefficienty empirických vzorcov sú počítané na báze  $\text{P}+\text{As}+\text{S}+\text{Si} = 2$  apfu; obsah  $\text{OH}^-$  v  $(\text{PO}_3\text{OH})$  skupine, obsah  $\text{OH}^{**}$  bol dopočítaný na základe rozdielu nábojových bilancií

šom množstve aj Al (do 0.07 apfu) a v jednom prípade aj Ni (0.03 apfu). Obsahy Cu v corkite z L'ubietovej výrazne negatívne korelujú s obsahmi Fe a Al (obr. 6), čo naznačuje, že Cu v študovanom corkite vstupuje prednostne do pozície B podobne ako v prípade beaveritu-(Cu), beaveritu-(Zn) a osarizawaitu. Cu tiež negatívne koreluje s obsahom P+As (obr. 7), ale pozitívne s obsahom S (obr. 8). V aniónovej pozícii sa študovaný corkit vyznačuje relativne rozsiahloou substitúciou P za S (obr. 9, 10), pričom obsahy S varírujú v rozmedzí od 0.62 do 1.24 apfu. Lokálne boli zistené aj minoritné obsahy As (do 0.02 apfu) a Si (do 0.01 apfu). Empirický vzorec corkitu z L'ubietovej (priemer 19 bodových analýz) je možné na bázu P+As+S+Si = 2 apfu vyjadriť ako  $(\text{Pb}_{0.88}\text{Bi}_{0.16})_{\Sigma 1.04}(\text{Fe}_{2.42}\text{Cu}_{0.72}\text{Al}_{0.05})_{\Sigma 3.19}[(\text{PO}_4)_{0.99}(\text{SO}_4)_{0.77}(\text{PO}_3\text{OH})_{0.23}(\text{AsO}_4)_{0.01}]_{\Sigma 2.00}(\text{OH})_{6.10}$ .

**Kintoreit** bol identifikovaný vo vzorkách z hlavnej komory na úrovni Dolnej Ladislav štôlne. V puklinách kremeňovej žiloviny tvorí v zelenožlté jemnokryštalické povlaky na plochách do  $2 \times 2$  cm (obr. 11), ktoré sa vyskytujú v asociácii spolu s mrázekitom, bizmutitom, petit-jeanitom, pseudomalachitom a goethitom.

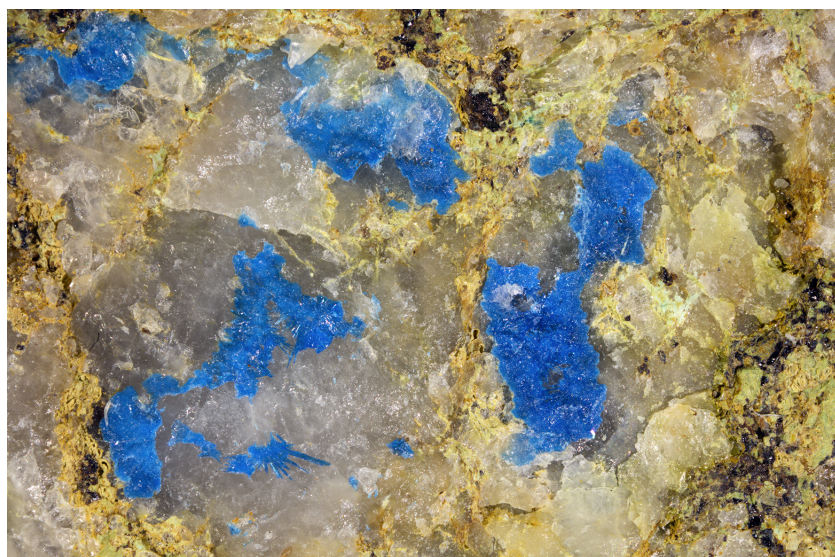
Röntgenové práškové údaje kintoreitu z L'ubietovej (tab. 6) sa dobre zhodujú s údajmi publikovanými pre túto minerálnu fázu ako aj s teoretickým práškovým záznamom, ktorý bol vypočítaný zo štruktúrnych dát, ktoré pu-

blikovali Grey et al. (2009) pre prírodný kintoreit z lokality Dernbach v Nemecku. Spresnené mriežkové parametre študovaného kintoreitu sú v tabuľke 7 porovnané s publikovanými údajmi.

Chemické zloženie študovaného kintoreitu (tab. 8, obr. 5) sa okrem dominantného obsahu Pb v katiónovej pozícii A vyznačuje aj zvýšeným obsahom Bi (do 0.10 apfu), K (do 0.09 apfu) a minoritne aj Ca (do 0.01 apfu). V katiónovej pozícii B je okrem Fe výraznejšie zastúpený aj Al (do 0.59 apfu). Zistené obsahy Cu (do 0.22 apfu) len nevýrazne korelujú s obsahmi Fe+Al (obr. 6), čo by mohlo naznačovať, že Cu nevstupuje do pozície B, ale obsadzuje samostatnú pozíciu podobne ako v prípade Zn-bohatého kintoreitu alebo kolitschitu (Grey et al. 2008, 2009; Mills et al. 2008). Potvrdenie tejto teórie si vyžaduje detailný monokryštálový rtg. výskum. Obsahy Cu negatívne korelujú s obsahmi P+As (obr. 7) a mierne pozitívne s obsahom S (obr. 8). V aniónovej pozícii kintoreitu z L'ubietovej (obr. 9, 10) boli okrem dominantného P pozorované aj výraznejšie obsahy Si (do 0.36 apfu) a len minoritné koncentrácie As a S (oba do 0.03 apfu). Empirický vzorec študovaného kintoreitu (priemer 6 bodových analýz) je možné na bázu P+As+S+Si = 2 apfu vyjadriť ako  $(\text{Pb}_{0.93}\text{Bi}_{0.08}\text{K}_{0.04}\text{Ca}_{0.01})_{\Sigma 1.06}(\text{Fe}_{2.48}\text{Al}_{0.34}\text{Cu}_{0.14})_{\Sigma 2.96}[(\text{PO}_3\text{OH})_{1.00}(\text{PO}_4)_{0.81}(\text{SiO}_4)_{0.16}(\text{SO}_4)_{0.02}(\text{AsO}_4)_{0.01}]_{\Sigma 2.00}(\text{OH})_{5.73}$ .



Obr. 11 Zelenožlté jemnokryštalické povlaky a kôry kintoreitu z L'ubietovej. Šírka záberu je 12 mm, foto P. Škácha.



Obr. 12 Sýtomodré kôry a kryštalické agregáty mrázekitu v asociácii spolu so svetložltým bizmutitom. Šírka záberu je 12 mm, foto P. Škácha.

**Tabuľka 9** Röntgenové práškové údaje mrázekitu z L'ubietovej

<i>h</i>	<i>k</i>	<i>l</i>	<i>d<sub>obs</sub></i>	<i>I<sub>obs</sub></i>	<i>d<sub>calc</sub></i>	<i>h</i>	<i>k</i>	<i>l</i>	<i>d<sub>obs</sub></i>	<i>I<sub>obs</sub></i>	<i>d<sub>calc</sub></i>	<i>h</i>	<i>k</i>	<i>l</i>	<i>d<sub>obs</sub></i>	<i>I<sub>obs</sub></i>	<i>d<sub>calc</sub></i>
1	0	1	7.749	100	7.637	-2	1	7	2.514	7	2.514	4	2	0	1.8189	7	1.8196
-1	0	3	6.152	45	6.093	-3	1	5	2.4660	4	2.4692	-3	0	11	1.7602	1	1.7630
0	1	2	5.465	19	5.417	3	1	3	2.3606	5	2.3627	-2	0	12	1.7382	2	1.7381
0	0	4	5.195	25	5.203	-2	1	8	2.3083	3	2.3030	-5	1	5	1.7033	<1	1.7026
2	0	0	4.449	17	4.443	-4	0	2	2.2648	1	2.2672	-4	2	7	1.6796	1	1.6797
2	1	0	3.662	11	3.639	-3	1	7	2.2033	7	2.2011	4	1	6	1.6609	1	1.6605
-2	1	3	3.459	9	3.465	1	2	6	2.1913	5	2.1917	5	0	3	1.6443	1	1.6441
0	2	0	3.186	11	3.172	2	1	7	2.1405	<1	2.1369	3	3	4	1.5789	<1	1.5800
0	2	2	3.032	31	3.034	4	1	0	2.0966	5	2.0966	5	0	5	1.5264	2	1.5275
-3	0	3	2.942	18	2.946	-1	3	2	2.0346	<1	2.0362	-1	4	4	1.5093	<1	1.5102
0	1	7	2.689	4	2.692	-3	2	6	1.9704	3	1.9709	0	0	14	1.4860	<1	1.4866
-3	1	4	2.585	5	2.584	-3	1	9	1.9364	1	1.9343						

**Tabuľka 10** Mriežkové parametre mrázekitu z L'ubietovej (indexované v monoklinickej priestorovej grupe  $P2_1/m$ ) a ich porovnanie s publikovanými údajmi

	táto práca	Effenberger et al. (1994)
<i>a</i> [Å]	9.067(5)	9.065(1)
<i>b</i> [Å]	6.341(4)	6.340(1)
<i>c</i> [Å]	21.252(9)	21.239(3)
$\beta$ [°]	101.6(4)	101.57(1)
<i>V</i> [Å <sup>3</sup> ]	1197(1)	1195.85

**Tabuľka 11** Chemické zloženie mrázekitu z L'ubietovej (hm. %)

	mean	1	2	3	4	5	6	7	8
K <sub>2</sub> O	0.01	0.09	0.00	0.00	0.00	0.00	0.00	0.00	0.00
FeO	0.20	0.15	0.21	0.16	0.15	0.19	0.11	0.32	0.30
CaO	0.00	0.00	0.00	0.00	0.00	0.00	0.00	0.00	0.04
PbO	0.60	0.64	0.60	0.69	0.60	0.60	0.61	0.43	0.65
CuO	26.17	26.19	25.84	26.67	25.76	26.04	26.75	25.97	26.12
Al <sub>2</sub> O <sub>3</sub>	0.05	0.05	0.04	0.08	0.00	0.03	0.00	0.09	0.09
SiO <sub>2</sub>	0.01	0.00	0.00	0.00	0.00	0.04	0.00	0.00	0.00
Bi <sub>2</sub> O <sub>3</sub>	51.19	51.44	50.71	51.05	51.28	50.55	52.24	50.69	51.60
As <sub>2</sub> O <sub>5</sub>	0.17	0.00	0.21	0.24	0.28	0.26	0.39	0.00	0.00
P <sub>2</sub> O <sub>5</sub>	15.92	16.00	15.72	15.99	16.04	15.66	16.14	15.71	16.11
H <sub>2</sub> O	5.88	5.94	5.82	5.95	5.69	5.82	5.95	5.93	5.95
total	100.20	100.49	99.14	100.82	99.79	99.18	102.18	99.14	100.85
K <sup>+</sup>	0.002	0.016	0.000	0.000	0.000	0.000	0.000	0.000	0.000
Ca <sup>2+</sup>	0.001	0.000	0.000	0.000	0.000	0.000	0.000	0.000	0.006
Pb <sup>2+</sup>	0.024	0.026	0.024	0.027	0.024	0.024	0.024	0.017	0.026
Bi <sup>3+</sup>	1.945	1.959	1.949	1.927	1.927	1.941	1.943	1.965	1.951
$\Sigma$ A-site	1.972	2.001	1.973	1.954	1.951	1.965	1.967	1.983	1.983
Fe <sup>2+</sup>	0.022	0.016	0.024	0.018	0.016	0.022	0.012	0.036	0.033
Cu <sup>2+</sup>	2.912	2.922	2.909	2.949	2.836	2.928	2.915	2.949	2.893
Al <sup>3+</sup>	0.008	0.009	0.007	0.013	0.000	0.004	0.000	0.016	0.015
$\Sigma$ B-site	2.942	2.948	2.940	2.980	2.852	2.954	2.926	3.000	2.941
Si <sup>4+</sup>	0.001	0.000	0.000	0.000	0.000	0.006	0.000	0.000	0.000
As <sup>5+</sup>	0.013	0.000	0.016	0.018	0.021	0.020	0.029	0.000	0.000
P <sup>5+</sup>	1.986	2.000	1.984	1.982	1.979	1.973	1.971	2.000	2.000
$\Sigma$ T-site	2.000	2.000	2.000	2.000	2.000	2.000	2.000	2.000	2.000
O	2.000	2.000	2.000	2.000	2.000	2.000	2.000	2.000	2.000
OH <sup>-</sup>	1.779	1.850	1.782	1.808	1.533	1.777	1.729	1.947	1.815
H <sub>2</sub> O	2.000	2.000	2.000	2.000	2.000	2.000	2.000	2.000	2.000

Koeficienty empirických vzorcov sú počítané na báze P+As = 2 apfu; obsah OH a H<sub>2</sub>O bol dopočítaný na základe rozdielu nábojových bilancí a teoretického obsahu 2H<sub>2</sub>O.

**Mrázekit** je relatívne častý sprievodný minerál bizmutitu. Vytvára sýtomodré kôry (obr. 12) a polguľovité až nepravidelné kryštalické agregáty. Zriedkavejšie sú radiálne agregáty do 3 mm, ktoré sú zložené z idiomorfne vyvinutých ihlicovitých až tenkotabuľkovitých kryštálov. V asociácii spolu s mrázekitom sa vyskytujú aj pseudomalachit, malachit a zriedkavo aj corkit, kintoreit a petitjeanit.

Röntgenové práškové údaje študovaného mrázekitu (tab. 9) sú v dobrej zhode s údajmi publikovanými pre túto minerálnu fázu ako aj s teoretickým záznamom, ktorý bol vypočítaný zo štruktúrnych dát, ktoré publikovali Effenberger et al. (1994) pre mrázekit z L'ubietovej. Spresnené mriežkové parametre mrázekitu sú v tabuľke 10 porovnané s publikovanými údajmi.

Chemické zloženie študovaného mrázekitu (tab. 11) je blízke teoretickému. V katiónových pozících boli okrem dominantného obsahu Bi a Cu zistené aj minoritné obsahy Fe (do 0.04 apfu), Pb (do 0.03 apfu), Al (do 0.02 apfu) a lokálne aj Ca (do 0.01 apfu). V aniónovej pozícii boli pri dominantných obsahoch P pozorované len minoritné koncentrácie As (do 0.03 apfu). Empirický vzorec študovaného mrázekitu (priemer 8 bodových analýz) je možné na bázu  $P+As = 2 \text{ apfu}$  vyjadriť ako  $(\text{Bi}_{1.95}\text{Pb}_{0.02})_{\Sigma 1.97}(\text{Cu}_{2.91}\text{Fe}_{0.02}\text{Al}_{0.01})_{\Sigma 2.94}[(\text{PO}_4)_{1.99}(\text{AsO}_4)_{0.01}]_{\Sigma 2.00}\text{O}_{2.00}(\text{OH})_{1.78}\cdot 2\text{H}_2\text{O}$ .

**Petitjeanit** bol identifikovaný veľmi vzácnne len vo vzorkách z hlavnej komory. Vytvára nepravidelné mikroskopické agregáty a kôry, ktorých veľkosť dosahuje do 200 µm (obr. 13). Vyskytuje sa v puklinách kremeňovej žiloviny v asociácii spolu s goethitom, pseudomalachitom, kintoreitom a mrázekitom.

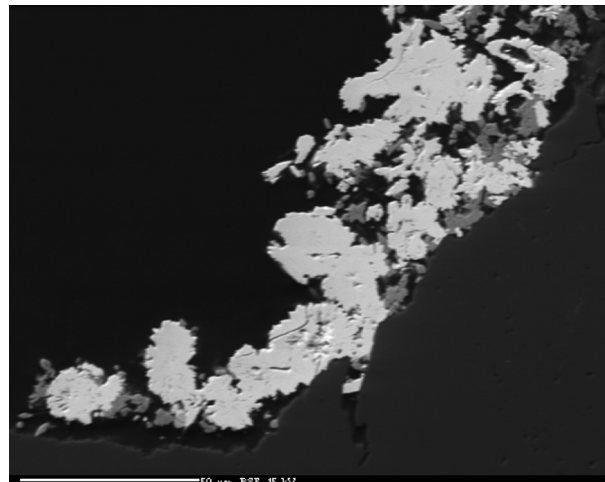
Petitjeanit bol identifikovaný pomocou EPMA-WDS. Jeho chemické zloženie (tab. 12) sa okrem dominantného zastúpenia Bi v katiónovej pozícii vyznačuje prítomnosťou Pb (do 0.17 apfu), Al (do 0.14 apfu), Fe (do 0.06 apfu), K (do 0.05 apfu), Cu (do 0.04 apfu) a Ca (do 0.02 apfu). V aniónovej pozícii študovaného petitjeanitu boli okrem dominantného P zistené aj minoritné obsahy Si (do 0.16 apfu) a As (do 0.08 apfu). Empirický vzorec petitjeanitu z L'ubietovej (priemer 4 bodových analýz) je možné na bázu  $P+As+Si = 2 \text{ apfu}$  vyjadriť ako  $(\text{Bi}_{2.67}\text{Pb}_{0.16}\text{Al}_{0.08}\text{Fe}_{0.05}\text{K}_{0.03}\text{Cu}_{0.03}\text{Ca}_{0.02})_{\Sigma 3.04}[(\text{PO}_4)_{1.84}(\text{SiO}_4)_{0.09}(\text{AsO}_4)_{0.07}]_{\Sigma 2.00}\text{O}_{1.00}(\text{OH})_{0.72}$ .

## Záver

V banskom poli Rainer na Cu ložisku L'ubietová - Podlipa boli identifikovaná asociácia supergénnych minerálov s obsahom Bi alebo Pb reprezentovaná Bi a Cu bohatým corkitom, bizmutitom, Bi a Cu bohatým kintoreitom, mrázekitom a petitjeanitom. Genéza týchto minerálnych fáz súvisí s dekompozíciou primárnych sulfidických fáz ako je chalkopyrit (majoritný zdroj Cu) a Cu-Bi respektíve Cu-Pb-Bi sulfosoli (majoritný zdroj Bi a Pb) v podmienkach supergénnej zóny *in-situ*.

## Podákovanie

Táto práca bola podporovaná Agentúrou na podporu výskumu a vývoja na základe zmluvy č. APVV-0375-12 pre MŠ a Ministerstvom kultúry ČR v rámci inštitučného financovania dlhodobého koncepcného rozvoja výskumnnej organizácie Národní muzeum (DKRVO 2015/01, 00023272) pre JS a RM. Autori tiež d'akujú P. Škáchovi za vyhotovenie farebných mikrofotografií supergénnych minerálov. Podákovanie tiež patrí M. Volejníkovi a J. Plecháčkovi za pomoc pri terénnom výskume na lokalite.



Obr. 13 Nepravidelné agregáty až kôry petitjeanitu (biely) s drobnými nepravidelnými agregátmi kintoreitu (svetlosivý) na pukline kremeňa (tmavosivý) z L'ubietovej. BSE foto J. Sejkora.

Tabuľka 12 Chemické zloženie petitjeanitu z L'ubietovej (hm. %)

	mean	1	2	3	4
K <sub>2</sub> O	0.15	0.30	0.00	0.16	0.13
FeO	0.51	0.62	0.53	0.35	0.56
CaO	0.13	0.15	0.15	0.09	0.13
PbO	4.25	4.57	4.22	3.84	4.35
CuO	0.27	0.34	0.34	0.00	0.39
Al <sub>2</sub> O <sub>3</sub>	0.46	0.86	0.30	0.38	0.31
SiO <sub>2</sub>	0.61	1.18	0.31	0.56	0.38
Bi <sub>2</sub> O <sub>3</sub>	72.57	74.18	75.97	64.07	76.08
As <sub>2</sub> O <sub>5</sub>	0.98	0.93	1.01	0.85	1.15
P <sub>2</sub> O <sub>5</sub>	15.23	15.72	16.07	13.23	15.89
H <sub>2</sub> O	0.75	0.60	0.84	0.68	0.90
total	95.91	99.45	99.74	84.21	100.25
K <sup>+</sup>	0.027	0.050	0.000	0.034	0.022
Fe <sup>2+</sup>	0.055	0.063	0.055	0.043	0.058
Ca <sup>2+</sup>	0.020	0.022	0.023	0.016	0.019
Pb <sup>2+</sup>	0.163	0.164	0.157	0.170	0.162
Cu <sup>2+</sup>	0.029	0.035	0.035	0.000	0.041
Al <sup>3+</sup>	0.078	0.136	0.049	0.073	0.050
Bi <sup>3+</sup>	2.671	2.556	2.712	2.707	2.718
Σ	3.042	3.025	3.031	3.043	3.070
Si <sup>4+</sup>	0.087	0.158	0.043	0.092	0.053
As <sup>5+</sup>	0.073	0.065	0.073	0.073	0.083
P <sup>5+</sup>	1.840	1.777	1.884	1.836	1.864
Σ	2.000	2.000	2.000	2.000	2.000
O	1.000	1.000	1.000	1.000	1.000
OH <sup>-</sup>	0.719	0.533	0.779	0.741	0.832

Koeficienty empirických vzorcov sú počítané na bázu  $P+As+Si = 2 \text{ apfu}$ ; obsah OH bol dopočítaný na základe rozdielu nábojových bilancií.

## Literatúra

- Bayliss P., Kolitsch U., Nickel E. H., Pring A. (2010) Alunite supergroup: recommended nomenclature. *Mineral. Mag.* 74, 919-927.
- Bergfest A. (1951) Baníctvo v L'ubietovej na medenú rudu. *MS, archív Geofond, Bratislava*, 1-42, 3668.
- Breithaupt A. (1823) Vollständige Charakteristik des Mineral-System's. 1-358, *Arnoldische Buchhandlung, Dresden und Leipzig*.
- Čech F., Láznička P. (1965) Cyanotrichit z ložiska měděných rud od Lubietové. *Acta Univ. Carol., Geol.* 3, 149-155.
- Effenberger H., Krause W., Belendorff K., Bernhardt H. J., Medenbach O., Hybler J., Petříček V. (1994) Revision of the crystal structure of mrázekite,  $\text{Bi}_2\text{Cu}_3(\text{OH})_2\text{O}_2(\text{PO}_4)_2 \cdot 2\text{H}_2\text{O}$ . *Canad. Mineral.* 32, 365-372.
- Figuschová M. (1977) Sekundárne minerály medi z L'ubietovej. In: *Zborník referátov z konferencie Ložiskotvorne procesy Západných Karpát, Bratislava*, 135-137.
- Giuseppetti G., Tadini C (1987) Corkite,  $\text{PbFe}_3(\text{SO}_4)(\text{PO}_4)_6$  (OH)<sub>6</sub>, its crystal structure and ordered arrangement of the tetrahedral cations. *Neues Jb. Miner. Monat.*, 71-81.
- Grey I. E., Mumme W. G., Bordet P., Mills S. J. (2008) A new crystal-chemical variation of the alunite-type structure in monoclinic  $\text{PbZn}_{0.5}\text{Fe}_3(\text{AsO}_4)_2(\text{OH})_6$ . *Canad. Mineral.* 46, 1355-1364.
- Grey I. E., Mumme W.G., Mills S. J., Birch W. D., Wilson N. C. (2009) The crystal chemical role of zinc in alunite-type minerals: structure refinements for pure and zincian kintoreite. *Am. Mineral.* 94, 676-683.
- Grice J. D. (2002) A solution to the crystal structures of bismutite and beyerite. *Canad. Mineral.* 40, 693-698.
- Hauerová J., Blaha M., Bartoň B., Linkesová M., Fodorová V., Makuša M., Pitoňák P., Spišiak J. (1989) L'ubietová - Kolba, Záverečná správa úlohy: Surovina: Cu (Sb, Ag, Ni, Co, Bi, W), vyhľadávací prieskum, I. podetapa. *MS, archív Geofond, Bratislava*, 74660.
- Hyřší J. (1991) Three polymorphs of  $\text{Cu}_5(\text{PO}_4)_2(\text{OH})_4$  from L'ubietová, Czechoslovakia. *Neues Jb. Miner. Monat.* 6, 281-287.
- Jambor J. L. (1999) Nomenclature of the alunite supergroup. *Canad. Mineral.* 37, 1323-1341.
- Jambor J. L., Dutrizac J. E. (1983) Beaverite-plumbojarosite solid solutions. *Canad. Mineral.* 21, 101-113.
- Jonas J. (1820) Ungerns Mineralreich orycto-geognostich un topographisch dargestellt. 1-414, *Hartleben, Pesth*.
- Kharisun, Taylor M. R., Bevan D. J. M., Pring A. (1997) The crystal structure of kintoreite,  $\text{PbFe}_3(\text{PO}_4)_2(\text{OH},\text{H}_2\text{O})_6$ . *Mineral. Mag.* 61, 123-129.
- Kolitsch U., Pring A. (2001) Crystal chemistry of the crandallite, beudantite, and alunite groups: A review and evaluation of the suitability as storage materials for toxic metals. *J. Miner. Petrol. Sci.* 96, 67-78.
- Laugier J., Bochu B. (2011) LMGP-Suite of Programs for the Interpretation of X-ray Experiments. <http://www ccp14.ac.uk/tutorial/lmpg>.
- Leonhard C. C. (1812) Über das, in Ungarn entdeckte, phosphorsaure Kupfer. *Mineralogische Studien, Schrag, Nürnberg*, 86-91.
- Luptáková J., Milovská S., Biroň A., Jeleň S., András P. (2012) Study of secondary minerals of abandoned Cu deposit L'ubietová-Podlipa (Slovakia). *Acta Mineralogica Petrographica, Abstract Series*, 7, 80.
- Michňová J., Ozdín D., Bačík P. (2008) Štúdium fluidných inkluzií a chemického zloženia turmalínov z hydrotermálneho ložiska L'ubietová. *Bull. mineral.-petrolog. Odd. Nár. Muz. (Praha)* 16, 1, 100-108.
- Mills S. J., Grey I. E., Mumme W. G., Miawaki R., Matsubara S., Bordet P., Birch W. D., Raudsepp M. (2008) Kolitschite,  $\text{Pb}[\text{Zn}_{0.5}\square_{0.5}\text{Fe}_3(\text{AsO}_4)_2(\text{OH})_6]$ , a new mineral from the Kintore opencut, Broken Hill, New South Wales. *Austral. J. Mineral.* 14, 63-67.
- Mills S. J., Kampf A. R., Raudsepp M., Christy A. G. (2009) The crystal structure of Ga-rich plumbogummite from Tsumeb, Namibia. *Mineral. Mag.* 73, 837-845.
- Milovská S., Luptáková J., Jeleň S., Biroň A., Lazor P., Polák L. (2014) Manganese oxides and oxyhydroxides from Banská Štiavnica, L'ubietová and Selce (Central Slovakia). In: *Proceedings of the international symposium CEMC 2014 (Skalský Dvůr)*, 101-102.
- Pauliš P., Kopecký S., Jebavá I. (2012a) Corkit a bariumfarmakosiderit-Q z Vysoké u Havlíčkova Brodu (Česká republika). *Bull. mineral.-petrolog. Odd. Nár. Muz. (Praha)* 20, 1, 106-109.
- Pauliš P., Toegel V., Jebavá I. (2012b) Kintoreit z ložiska uranových rud Zálesí v Rychlebských horách (Česká republika). *Bull. mineral.-petrolog. Odd. Nár. Muz. (Praha)* 20, 2, 223-225.
- Pauliš P., Urban M., Malíková R., Pour O. (2015) Bismutit z ložiska manganových rud Horní Blatná v Krušných horách (Česká republika). *Bull. mineral.-petrolog. Odd. Nár. Muz. (Praha)* 23, 1, 109-112.
- Polák M., Filo I., Havrla M., Bezák V., Kohút M., Kováč P., Vozár J., Mello J., Maglay J., Elečko M., Vozárová A., Olšavský M., Siman P., Buček S., Siráňová Z., Hók J., Rakús M., Lexa J., Šimon L., Pristaš J., Kubeš P., Zákovíč M., Liščák P., Žáková E., Boorová D., Vaněková H. (2003) Geologická mapa Starohorských vrchov, Čierťaže a severnej časti Zvolenskej kotliny. 1:50 000. *Štátny geologický ústav Dionýza Štúra, Bratislava*.
- Pouchou J. L., Pichoir F. (1985) "PAP" ( $\varphi\varphi Z$ ) procedure for improved quantitative microanalysis. In: *Microbeam Analysis* (J. T. Armstrong, ed.). San Francisco Press, San Francisco, 104-106.
- Povondra P., Řídkošil T. (1980) Brochantit z Piesků a L'ubietové u Banské Bystrice. *Acta Univ. Carol., Geol.* 1-2, 1-8.
- Pring A., Birch W. D., Dawe J. R., Taylor M. R., Deliens M., Walenta K. (1995) Kintoreite,  $\text{PbFe}_3(\text{PO}_4)_2(\text{OH},\text{H}_2\text{O})_6$ , a new mineral of the jarosite-alunite family, and lusungite discredited. *Mineral. Mag.* 59, 143-148.
- Rattray K. J., Taylor M. R., Bevan D. J. M., Pring A. (1996) Compositional segregation and solid solution in the lead-dominant alunite-type minerals from Broken Hill, N.S.W. *Miner. Mag.* 60, 779-785.
- Řídkošil T., Povondra P. (1982) The relation between ponjakite and langite. *Neues Jb. Miner., Monat.* 16-28.
- Řídkošil T., Šrein V., Fábry J., Hybler J., Maximov B. A. (1992) Mrázekite,  $\text{Bi}_2\text{Cu}_3(\text{OH})_2\text{O}_2(\text{PO}_4)_2 \cdot 2\text{H}_2\text{O}$ , a new mineral species and its crystal structure. *Canad. Mineral.* 30, 215-224.

- Sato E., Nazai I., Terada Y., Tsutsumi Y., Yokoyama K., Miawaki R., Matsubara S. (2008) Study of Zn-bearing beaverite  $Pb(Fe_2Zn)(SO_4)_2(OH)_6$  obtained from Mi-kawa mine, Niigata Prefecture, Japan. *J. Miner. Petrol. Sci.* 103, 141-144.
- Scott K. M. (1987) Solid solution in, and classification of, gossan-derived members of the alunite-jarosite family, northwest Queensland, Australia. *Am. Mineral.* 72, 178-187.
- Sejkora J., Čejka J., Šrein V. (2001) Pb dominant members of crandallite group from Cínovec and Moldava deposits, Krušné hory Mts. (Czech Republic). *J. Czech Geol. Soc.* 46, 1-2, 53-68.
- Sejkora J., Škovára J., Čejka J., Plášil J. (2009) Cu-rich members of the beudantite-segnitite series from the Krupka ore district, the Krušné hory Mountains, Czech Republic. *J. Geosci.* 54, 355-371.
- Slavkay M., Beňka J., Bezák V., Gargulák M., Hraško L., Kováčik M., Petro M., Vozárová A., Hruškovič S., Knésl J., Knéslová A., Kusein M., Maťová V., Tulis J. (2004) Ložiská nerastných surovín Slovenského rudo-horia, Zväzok 2. Štátnej geologický ústav Dionýza Štúra, Bratislava, 1-286.
- Vlachovič J. (1964) Slovenská med' v 16. a 17. storočí. *Vydavateľstvo Slovenskej akadémie vied, Bratislava*, 1-332.
- Vozárová A., Vozárová J. (1988) Late Paleozoic in the Western Carpathians. *Štátnej geologický ústav Dionýza Štúra, Bratislava*, 1-314.
- Zipser Ch. A. (1817) Versuch eines topographisch-mineralogischen Handbuches von Ungern. 1-228, *Wigand, Oedenburg*.